

Starkniederschlagshöhen und -spenden gemäß KOSTRA-DWD-2020

Rasterfeld 210172

(Zeile 210, Spalte 172)

Regenspende und Bemessungsniederschlagswerte in Abhängigkeit von Wiederkehrzeit T und Dauerstufe D

| Dauerstufe D | | Wiederkehrzeit T | | | | | | | | | | | | | | | | | |
|--------------|-----|------------------|------------|-------|------------|-------|------------|-------|------------|-------|------------|-------|------------|-------|------------|-------|------------|-------|------------|
| | | 1 a | | 2 a | | 3 a | | 5 a | | 10 a | | 20 a | | 30 a | | 50 a | | 100 a | |
| min | Std | mm | l / (s ha) | mm | l / (s ha) | mm | l / (s ha) | mm | l / (s ha) | mm | l / (s ha) | mm | l / (s ha) | mm | l / (s ha) | mm | l / (s ha) | mm | l / (s ha) |
| 5 | | 8,0 | 266,7 | 9,7 | 323,3 | 10,8 | 360,0 | 12,2 | 406,7 | 14,2 | 473,3 | 16,2 | 540,0 | 17,6 | 586,7 | 19,4 | 646,7 | 21,9 | 730,0 |
| 10 | | 10,8 | 180,0 | 13,1 | 218,3 | 14,5 | 241,7 | 16,4 | 273,3 | 19,1 | 318,3 | 21,9 | 365,0 | 23,7 | 395,0 | 26,1 | 435,0 | 29,5 | 491,7 |
| 15 | | 12,6 | 140,0 | 15,3 | 170,0 | 17,0 | 188,9 | 19,2 | 213,3 | 22,3 | 247,8 | 25,6 | 284,4 | 27,7 | 307,8 | 30,5 | 338,9 | 34,5 | 383,3 |
| 20 | | 14,0 | 116,7 | 17,0 | 141,7 | 18,9 | 157,5 | 21,3 | 177,5 | 24,8 | 206,7 | 28,4 | 236,7 | 30,8 | 256,7 | 33,9 | 282,5 | 38,3 | 319,2 |
| 30 | | 16,2 | 90,0 | 19,6 | 108,9 | 21,8 | 121,1 | 24,6 | 136,7 | 28,6 | 158,9 | 32,8 | 182,2 | 35,5 | 197,2 | 39,1 | 217,2 | 44,2 | 245,6 |
| 45 | | 18,6 | 68,9 | 22,5 | 83,3 | 25,0 | 92,6 | 28,2 | 104,4 | 32,9 | 121,9 | 37,7 | 139,6 | 40,8 | 151,1 | 44,9 | 166,3 | 50,8 | 188,1 |
| 60 | 1 | 20,4 | 56,7 | 24,8 | 68,9 | 27,5 | 76,4 | 31,1 | 86,4 | 36,2 | 100,6 | 41,5 | 115,3 | 44,9 | 124,7 | 49,5 | 137,5 | 56,0 | 155,6 |
| 90 | 1,5 | 23,4 | 43,3 | 28,4 | 52,6 | 31,5 | 58,3 | 35,5 | 65,7 | 41,4 | 76,7 | 47,4 | 87,8 | 51,4 | 95,2 | 56,5 | 104,6 | 64,0 | 118,5 |
| 120 | 2 | 25,7 | 35,7 | 31,2 | 43,3 | 34,6 | 48,1 | 39,0 | 54,2 | 45,4 | 63,1 | 52,1 | 72,4 | 56,4 | 78,3 | 62,1 | 86,3 | 70,2 | 97,5 |
| 180 | 3 | 29,3 | 27,1 | 35,5 | 32,9 | 39,4 | 36,5 | 44,5 | 41,2 | 51,8 | 48,0 | 59,4 | 55,0 | 64,3 | 59,5 | 70,8 | 65,6 | 80,1 | 74,2 |
| 240 | 4 | 32,1 | 22,3 | 39,0 | 27,1 | 43,2 | 30,0 | 48,8 | 33,9 | 56,8 | 39,4 | 65,1 | 45,2 | 70,5 | 49,0 | 77,6 | 53,9 | 87,8 | 61,0 |
| 360 | 6 | 36,6 | 16,9 | 44,4 | 20,6 | 49,2 | 22,8 | 55,6 | 25,7 | 64,7 | 30,0 | 74,1 | 34,3 | 80,3 | 37,2 | 88,4 | 40,9 | 100,0 | 46,3 |
| 540 | 9 | 41,6 | 12,8 | 50,5 | 15,6 | 56,0 | 17,3 | 63,2 | 19,5 | 73,6 | 22,7 | 84,4 | 26,0 | 91,4 | 28,2 | 100,6 | 31,0 | 113,8 | 35,1 |
| 720 | 12 | 45,6 | 10,6 | 55,3 | 12,8 | 61,4 | 14,2 | 69,3 | 16,0 | 80,7 | 18,7 | 92,5 | 21,4 | 100,2 | 23,2 | 110,3 | 25,5 | 124,8 | 28,9 |
| 1080 | 18 | 51,9 | 8,0 | 63,0 | 9,7 | 69,8 | 10,8 | 78,8 | 12,2 | 91,8 | 14,2 | 105,2 | 16,2 | 114,0 | 17,6 | 125,5 | 19,4 | 141,9 | 21,9 |
| 1440 | 24 | 56,8 | 6,6 | 69,0 | 8,0 | 76,5 | 8,9 | 86,4 | 10,0 | 100,6 | 11,6 | 115,3 | 13,3 | 124,9 | 14,5 | 137,5 | 15,9 | 155,5 | 18,0 |
| 2880 | 48 | 70,8 | 4,1 | 86,0 | 5,0 | 95,3 | 5,5 | 107,7 | 6,2 | 125,4 | 7,3 | 143,7 | 8,3 | 155,7 | 9,0 | 171,3 | 9,9 | 193,8 | 11,2 |
| 4320 | 72 | 80,6 | 3,1 | 97,8 | 3,8 | 108,4 | 4,2 | 122,4 | 4,7 | 142,6 | 5,5 | 163,4 | 6,3 | 177,0 | 6,8 | 194,9 | 7,5 | 220,4 | 8,5 |
| 5760 | 96 | 88,3 | 2,6 | 107,1 | 3,1 | 118,8 | 3,4 | 134,1 | 3,9 | 156,2 | 4,5 | 179,0 | 5,2 | 193,9 | 5,6 | 213,5 | 6,2 | 241,5 | 7,0 |
| 7200 | 120 | 94,7 | 2,2 | 115,0 | 2,7 | 127,5 | 3,0 | 144,0 | 3,3 | 167,7 | 3,9 | 192,2 | 4,4 | 208,2 | 4,8 | 229,1 | 5,3 | 259,2 | 6,0 |
| 8640 | 144 | 100,4 | 1,9 | 121,8 | 2,3 | 135,1 | 2,6 | 152,5 | 2,9 | 177,7 | 3,4 | 203,6 | 3,9 | 220,6 | 4,3 | 242,8 | 4,7 | 274,6 | 5,3 |
| 10080 | 168 | 105,4 | 1,7 | 127,9 | 2,1 | 141,9 | 2,3 | 160,2 | 2,6 | 186,6 | 3,1 | 213,8 | 3,5 | 231,6 | 3,8 | 255,0 | 4,2 | 288,4 | 4,8 |

Starkniederschlagshöhen und -spenden gemäß KOSTRA-DWD-2020

Rasterfeld 210172

(Zeile 210, Spalte 172)

Örtliche Unsicherheiten in Abhängigkeit von Wiederkehrzeit T und Dauerstufe D

| Dauerstufe D | | Wiederkehrzeit T | | | | | | | | |
|--------------|-----|------------------|-----|-----|-----|------|------|------|------|-------|
| | | 1 a | 2 a | 3 a | 5 a | 10 a | 20 a | 30 a | 50 a | 100 a |
| min | Std | ± % | ± % | ± % | ± % | ± % | ± % | ± % | ± % | ± % |
| 5 | | 24 | 25 | 25 | 25 | 26 | 27 | 27 | 27 | 27 |
| 10 | | 27 | 28 | 29 | 29 | 30 | 30 | 30 | 31 | 31 |
| 15 | | 29 | 29 | 30 | 30 | 31 | 31 | 32 | 32 | 32 |
| 20 | | 29 | 30 | 30 | 31 | 31 | 32 | 32 | 32 | 33 |
| 30 | | 29 | 30 | 30 | 30 | 31 | 31 | 32 | 32 | 32 |
| 45 | | 28 | 29 | 29 | 29 | 30 | 31 | 31 | 31 | 31 |
| 60 | 1 | 27 | 28 | 28 | 29 | 29 | 30 | 30 | 30 | 31 |
| 90 | 1,5 | 25 | 26 | 27 | 27 | 28 | 28 | 28 | 29 | 29 |
| 120 | 2 | 24 | 25 | 25 | 26 | 26 | 27 | 27 | 27 | 28 |
| 180 | 3 | 22 | 23 | 23 | 24 | 24 | 25 | 25 | 25 | 26 |
| 240 | 4 | 21 | 22 | 22 | 23 | 23 | 24 | 24 | 24 | 25 |
| 360 | 6 | 19 | 20 | 20 | 21 | 21 | 22 | 22 | 22 | 23 |
| 540 | 9 | 18 | 19 | 19 | 20 | 20 | 20 | 21 | 21 | 21 |
| 720 | 12 | 17 | 18 | 18 | 19 | 19 | 20 | 20 | 20 | 20 |
| 1080 | 18 | 17 | 17 | 18 | 18 | 18 | 19 | 19 | 19 | 20 |
| 1440 | 24 | 17 | 17 | 17 | 18 | 18 | 18 | 19 | 19 | 19 |
| 2880 | 48 | 19 | 18 | 18 | 19 | 19 | 19 | 19 | 19 | 19 |
| 4320 | 72 | 20 | 20 | 20 | 20 | 20 | 20 | 20 | 20 | 20 |
| 5760 | 96 | 22 | 21 | 21 | 21 | 21 | 21 | 21 | 21 | 21 |
| 7200 | 120 | 23 | 22 | 22 | 22 | 22 | 22 | 22 | 22 | 22 |
| 8640 | 144 | 24 | 23 | 23 | 23 | 23 | 23 | 23 | 23 | 23 |
| 10080 | 168 | 25 | 24 | 24 | 24 | 24 | 24 | 24 | 24 | 24 |

Parameter für abweichende T und D

Lokationsparameter ξ (Xi)

20,77899378

Skalenparameter α (Alpha)

6,16976589

Formparameter κ (Kappa)

-0,1

1. Koutsoyiannis-Parameter θ (Theta)

0,02272243

2. Koutsoyiannis-Parameter η (Eta)

0,68293056

Parameter für dauerstufenübergreifende Extremwertschätzung nach KOUTSOYIANNIS et al. 1998.

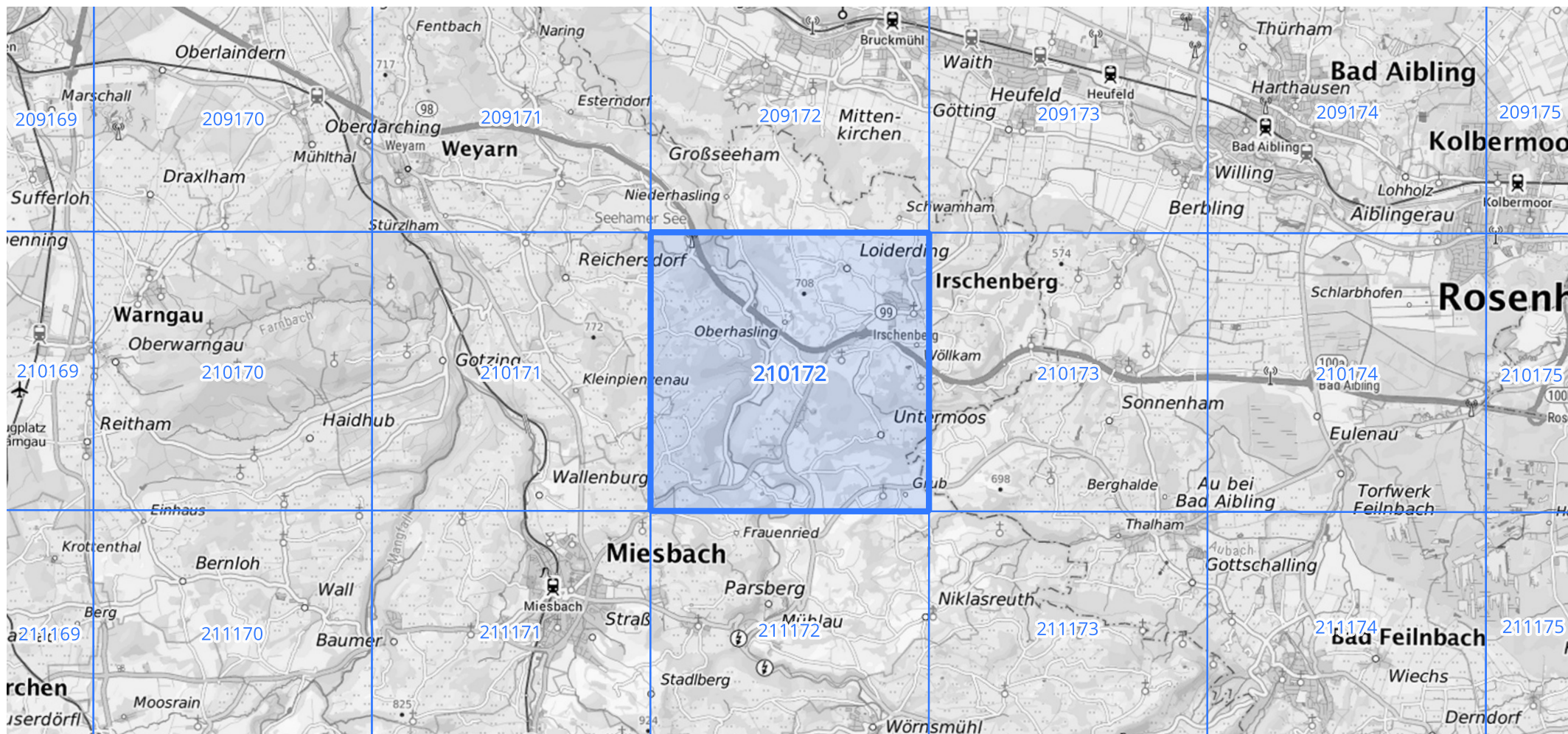
Siehe auch Anwendungshilfe zu KOSTRA-DWD-2020 des Deutschen Wetterdienstes.

Starkniederschlagshöhen und -spenden gemäß KOSTRA-DWD-2020

Rasterfeld 210172

(Zeile 210, Spalte 172)

Übersichtskarte des Rasterfeldes 210172, M 1 : 100 000



Quelle Rasterdaten: KOSTRA-DWD-2020 des Deutschen Wetterdienstes, Stand 12/2022.

Seite 3 von 3

Kartendarstellung: © Bundesamt für Kartographie und Geodäsie (2023), Datenquellen: https://sgx.geodatenzentrum.de/web_public/gdz/datenquellen/Datenquellen_TopPlusOpen.html

Für die Richtigkeit und Aktualität der Angaben wird keine Gewähr übernommen. Erstellt 01/2023.